

OpenCourseWare

Teoría de Estructuras y Construcciones Industriales

Carlos Santiuste Romero, Sara Garzón Hernández, Liu Jiao Wang,
Manuel Cuadrado Sanguino, Luis Jiménez Girón, Daniel Herrero Adán

CTE: DB-SE-AE Documento Básico Seguridad Estructural – Acciones en la edificación



Documento Básico **SE-AE**

Seguridad Estructural **Acciones en la edificación**

Abril 2009

46 páginas

Índice

1 Generalidades

1.1 Ámbito de aplicación

2 Acciones permanentes

2.1 Peso propio

2.2 Pretensado

2.3 Acciones del terreno

3 Acciones variables

3.1 Sobrecarga de uso

3.2 Acciones sobre barandillas y elementos divisorios

3.3 Viento

3.4 Acciones térmicas

3.5 Nieve

4 Acciones accidentales

4.1 Sismo

4.2 Incendio

4.3 Impacto

Anejo A. Terminología

Anejo B. Notaciones y unidades

B.1 Notaciones

B.3 Unidades

Anejo C. Prontuario de pesos y coeficientes de rozamiento interno

Anejo D. Acción del viento

D.1 Presión dinámica

D.2 Coeficiente de exposición

D.3 Coeficientes de presión exterior

Anejo E. Datos climáticos

Índice

1 Generalidades

1.1 Ámbito de aplicación

2 Acciones permanentes

2.1 Peso propio

2.2 Pretensado

2.3 Acciones del terreno

3 Acciones variables

3.1 Sobrecarga de uso

3.2 Acciones sobre barandillas y elementos divisorios

3.3 Viento

3.4 Acciones térmicas

3.5 Nieve

4 Acciones accidentales

4.1 Sismo

4.2 Incendio

4.3 Impacto

Anejo A. Terminología

Anejo B. Notaciones y unidades

B.1 Notaciones

B.3 Unidades

Anejo C. Prontuario de pesos y coeficientes de rozamiento interno

Anejo D. Acción del viento

D.1 Presión dinámica

D.2 Coeficiente de exposición

D.3 Coeficientes de presión exterior

Anejo E. Datos climáticos

Tabla 3.1. Sobrecargas de uso. DB SE-AE p.5

Tabla 3.1. Valores característicos de las sobrecargas de uso

Categoría de uso		Subcategorías de uso		Carga uniforme [kN/m ²]	Carga concentrada [kN]
A	Zonas residenciales	A1	Viviendas y zonas de habitaciones en, hospitales y hoteles	2	2
		A2	Trasteros	3	2
B	Zonas administrativas			2	2
C	Zonas de acceso al público (con la excepción de las superficies pertenecientes a las categorías A, B, y D)	C1	Zonas con mesas y sillas	3	4
		C2	Zonas con asientos fijos	4	4
		C3	Zonas sin obstáculos que impidan el libre movimiento de las personas como vestíbulos de edificios públicos, administrativos, hoteles; salas de exposición en museos; etc.	5	4
		C4	Zonas destinadas a gimnasio u actividades físicas	5	7
		C5	Zonas de aglomeración (salas de conciertos, estadios, etc)	5	4
D	Zonas comerciales	D1	Locales comerciales	5	4
		D2	Supermercados, hipermercados o grandes superficies	5	7
E	Zonas de tráfico y de aparcamiento para vehículos ligeros (peso total < 30 kN)			2	20 ⁽¹⁾
F	Cubiertas transitables accesibles sólo privadamente ⁽²⁾			1	2
G	Cubiertas accesibles únicamente para conservación ⁽³⁾	G1 ⁽⁷⁾	Cubiertas con inclinación inferior a 20°	1 ⁽⁴⁾⁽⁶⁾	2
			Cubiertas ligeras sobre correas (sin forjado) ⁽⁵⁾	0,4 ⁽⁴⁾	1
		G2	Cubiertas con inclinación superior a 40°	0	2

Tabla 3.1. Sobrecargas de uso. DB SE-AE p.5

Tabla 3.1. Valores característicos de las sobrecargas de uso

Categoría de uso		Subcategorías de uso		Carga uniforme [kN/m ²]	Carga concentrada [kN]
A	Zonas residenciales	A1	Viviendas y zonas de habitaciones en, hospitales y hoteles	2	2
		A2	Trasteros	3	2
B	Zonas administrativas			2	2
C	Zonas de acceso al público (con la excepción de las superficies pertenecientes a las categorías A, B, y D)	C1	Zonas con mesas y sillas	3	4
		C2	Zonas con asientos fijos	4	4
		C3	Zonas sin obstáculos que impidan el libre movimiento de las personas como vestíbulos de edificios públicos, administrativos, hoteles; salas de exposición en museos; etc.	5	4
		C4	Zonas destinadas a gimnasio u actividades físicas	5	7
		C5	Zonas de aglomeración (salas de conciertos, estadios, etc)	5	4
D	Zonas comerciales	D1	Locales comerciales	5	4
		D2	Supermercados, hipermercados o grandes superficies	5	7
E	Zonas de tráfico y de aparcamiento para vehículos ligeros (peso total < 30 kN)			2	20 ⁽¹⁾
F	Cubiertas transitables accesibles sólo privadamente ⁽²⁾			1	2
G	Cubiertas accesibles únicamente para conservación ⁽³⁾	G1 ⁽⁷⁾	Cubiertas con inclinación inferior a 20°	1 ⁽⁴⁾⁽⁶⁾	2
			Cubiertas ligeras sobre correas (sin forjado) ⁽⁵⁾	0,4 ⁽⁴⁾	1
		G2	Cubiertas con inclinación superior a 40°	0	2

Tabla 3.2. Reducción sobrecargas. DB SE-AE p.6

Tabla 3.2. Coeficiente de reducción de sobrecargas

Elementos verticales			Elementos horizontales			
Número de plantas del mismo uso			Superficie tributaria (m ²)			
1 ó 2	3 ó 4	5 ó más	16	25	50	100
1,0	0,9	0,8	1,0	0,9	0,8	0,7

Tabla 3.3. Barandillas. DB SE-AE p.7

Tabla 3.3 Acciones sobre las barandillas y otros elementos divisorios

Categoría de uso	Fuerza horizontal [kN/m]
C5	3,0
C3, C4, E, F	1,6
Resto de los casos	0,8

Apartado 3.3. Viento. DB SE-AE p.7

3.3 Viento

3.3.1 Generalidades

- 1 La distribución y el valor de las presiones que ejerce el viento sobre un edificio y las fuerzas resultantes dependen de la forma y de las dimensiones de la construcción, de las características y de la permeabilidad de su superficie, así como de la dirección, de la intensidad y del racheo del viento.
- 2 Las disposiciones de este Documento Básico no son aplicables a los edificios situados en altitudes superiores a 2.000 m. En estos casos, las presiones del viento se deben establecer a partir de datos empíricos disponibles.
- 3 En general, los edificios ordinarios no son sensibles a los efectos dinámicos del viento. Este Documento Básico no cubre las construcciones de esbeltez superior a 6, en las que sí deben tenerse en cuenta dichos efectos.

3.3.2 Acción del viento

- 1 La acción de viento, en general una fuerza perpendicular a la superficie de cada punto expuesto, o presión estática, q_e puede expresarse como:

$$q_e = q_b \cdot c_e \cdot c_p \quad (3.1)$$

Apartado 3.3. Viento. DB SE-AE p.7

3.3 Viento

3.3.1 Generalidades

- 1 La distribución y el valor de las presiones que ejerce el viento sobre un edificio y las fuerzas resultantes dependen de la forma y de las dimensiones de la construcción, de las características y de la permeabilidad de su superficie, así como de la dirección, de la intensidad y del racheo del viento.
- 2 Las disposiciones de este Documento Básico no son aplicables a los edificios situados en altitudes superiores a 2.000 m. En estos casos, las presiones del viento se deben establecer a partir de datos empíricos disponibles.
- 3 En general, los edificios ordinarios no son sensibles a los efectos dinámicos del viento. Este Documento Básico no cubre las construcciones de esbeltez superior a 6, en las que sí deben tenerse en cuenta dichos efectos.

3.3.2 Acción del viento

- 1 La acción de viento, en general una fuerza perpendicular a la superficie de cada punto expuesto, o presión estática, q_e puede expresarse como:

$$q_e = q_b \cdot c_e \cdot c_p \quad (3.1)$$

Apartado 3.3. Viento. DB SE-AE p.7

3.3 Viento

3.3.1 Generalidades

- 1 La distribución y el valor de las presiones que ejerce el viento sobre un edificio y las fuerzas resultantes dependen de la forma y de las dimensiones de la construcción, de las características y de la permeabilidad de su superficie, así como de la dirección, de la intensidad y del racheo del viento.
- 2 Las disposiciones de este Documento Básico no son aplicables a los edificios situados en altitudes superiores a 2.000 m. En estos casos, las presiones del viento se deben establecer a partir de datos empíricos disponibles.
- 3 En general, los edificios ordinarios no son sensibles a los efectos dinámicos del viento. Este Documento Básico no cubre las construcciones de esbeltez superior a 6, en las que sí deben tenerse en cuenta dichos efectos.

3.3.2 Acción del viento

- 1 La acción de viento, en general una fuerza perpendicular a la superficie de cada punto expuesto, o presión estática, q_e puede expresarse como:

$$q_e = q_b \cdot c_e \cdot c_p \quad (3.1)$$

Apartado 3.3. Viento. DB SE-AE p.7

3.3 Viento

3.3.1 Generalidades

- 1 La distribución y el valor de las presiones que ejerce el viento sobre un edificio y las fuerzas resultantes dependen de la forma y de las dimensiones de la construcción, de las características y de la permeabilidad de su superficie, así como de la dirección, de la intensidad y del racheo del viento.
- 2 Las disposiciones de este Documento Básico no son aplicables a los edificios situados en altitudes superiores a 2.000 m. En estos casos, las presiones del viento se deben establecer a partir de datos empíricos disponibles.
- 3 En general, los edificios ordinarios no son sensibles a los efectos dinámicos del viento. Este Documento Básico no cubre las construcciones de esbeltez superior a 6, en las que sí deben tenerse en cuenta dichos efectos.

3.3.2 Acción del viento

- 1 La acción de viento, en general una fuerza perpendicular a la superficie de cada punto expuesto, o presión estática, puede expresarse como:

$$q_e = q_b \cdot c_e \cdot c_p \quad (3.1)$$

Anejo D. Viento. DB SE-AE p.23

$$q_e = \mathbf{q_b} \cdot C_e \cdot C_p$$

El valor básico de la velocidad del viento en cada localidad puede obtenerse del mapa de la figura D.1. El de la presión dinámica es, respectivamente de $0,42 \text{ kN/m}^2$, $0,45 \text{ kN/m}^2$ y $0,52 \text{ kN/m}^2$ para las zonas A, B y C de dicho mapa.

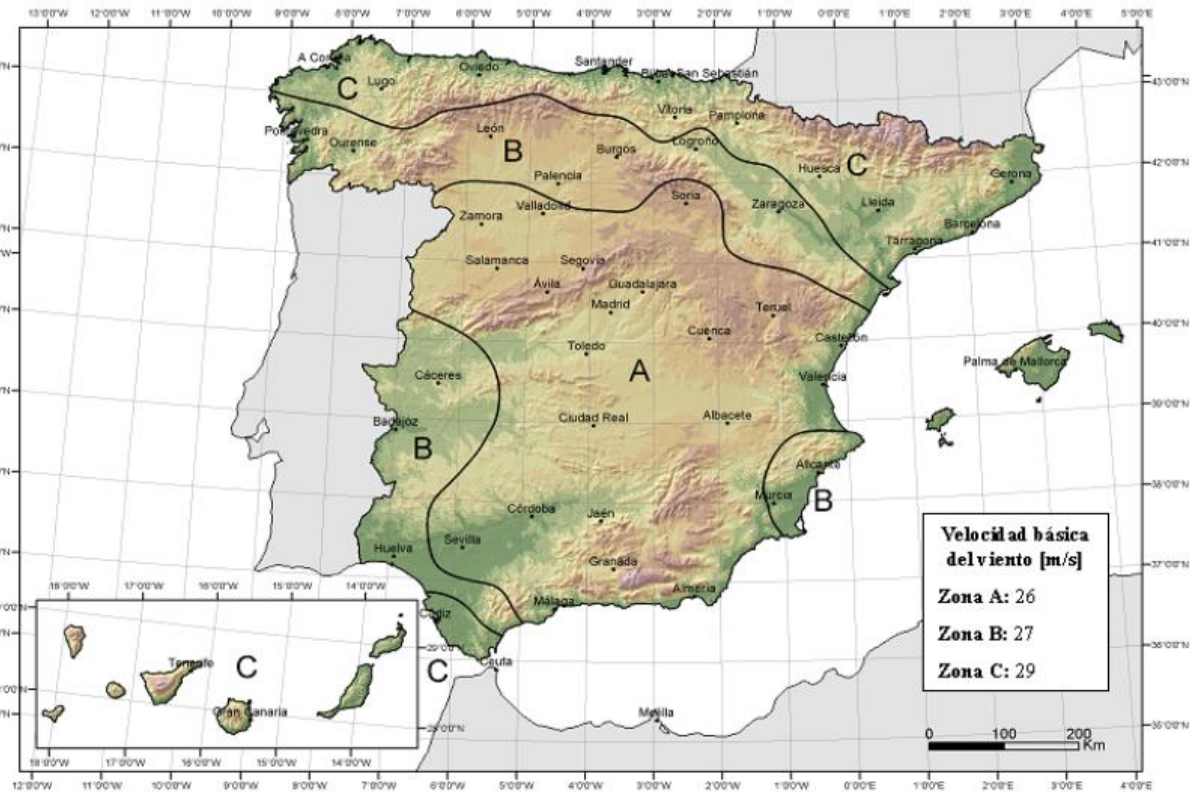


Tabla 3.4. C_E . DB SE-AE p.8

$$q_e = q_b \cdot C_e \cdot C_p$$

Tabla 3.4. Valores del coeficiente de exposición c_e

Grado de aspereza del entorno	Altura del punto considerado (m)							
	3	6	9	12	15	18	24	30
I Borde del mar o de un lago, con una superficie de agua en la dirección del viento de al menos 5 km de longitud	2,4	2,7	3,0	3,1	3,3	3,4	3,5	3,7
II Terreno rural llano sin obstáculos ni arbolado de importancia	2,1	2,5	2,7	2,9	3,0	3,1	3,3	3,5
III Zona rural accidentada o llana con algunos obstáculos aislados, como árboles o construcciones pequeñas	1,6	2,0	2,3	2,5	2,6	2,7	2,9	3,1
IV Zona urbana en general, industrial o forestal	1,3	1,4	1,7	1,9	2,1	2,2	2,4	2,6
V Centro de negocio de grandes ciudades, con profusión de edificios en altura	1,2	1,2	1,2	1,4	1,5	1,6	1,9	2,0

Anejo D. Tablas D3-D13. DB SE-AE p.24-40

$$q_e = q_b \cdot c_e \cdot c_p$$

Tabla D3. Paramentos verticales. p. 25

Tabla D4. Cubiertas planas. p. 26

Tabla D5. Cubiertas a un agua. p. 27

Tabla D6. Cubiertas a dos aguas. p. 30

Tabla D7. Cubiertas a cuatro aguas. p. 32

Tabla D8. Cubiertas en dientes de sierra. p. 33

Tabla D9. Cubiertas múltiples. p. 34

Tabla D10. Marquesinas a un agua. p. 35

Tabla D11. Marquesinas a dos aguas. p. 37

Tabla D12. Cubiertas cilíndricas. p. 39

Tabla D13. Cubiertas esféricas. p. 40

Apartado 3.5. Nieve. DB SE-AE p.11

Como valor de carga de nieve por unidad de superficie en proyección horizontal, q_n , puede tomarse:

$$q_n = \mu \cdot s_k \quad (3.2)$$

siendo:

μ coeficiente de forma de la cubierta según 3.5.3

s_k el valor característico de la carga de nieve sobre un terreno horizontal según 3.5.2

Apartado 3.5. Nieve. DB SE-AE p.11

$$q_n = \mu \cdot s_k$$

Tabla 3.8 Sobrecarga de nieve en capitales de provincia y ciudades autónomas

Capital	Altitud m	s _k kN/m ²	Capital	Altitud m	s _k kN/m ²	Capital	Altitud m	s _k kN/m ²
Albacete	690	0,6	Guadalajara	680	0,6	Pontevedra	0	0,3
Alicante / Alacant	0	0,2	Huelva	0	0,2	Salamanca	780	0,5
Almería	0	0,2	Huesca	470	0,7	SanSebas- tián/Donostia	0	0,3
Ávila	1.130	1,0	Jaén	570	0,4	Santander	1.000	0,3
Badajoz	180	0,2	León	820	1,2	Segovia	10	0,7
Barcelona	0	0,4	Lérida / Lleida	150	0,5	Sevilla	1.090	0,2
Bilbao / Bilbo	0	0,3	Logroño	380	0,6	Soria	1.090	0,9
Burgos	860	0,6	Lugo	470	0,6	Tarragona	0	0,4
Cáceres	440	0,4	Madrid	660	0,7	Tenerife	0	0,2
Cádiz	0	0,4	Málaga	0	0,6	Teruel	950	0,9
Castellón	0	0,2	Murcia	40	0,2	Toledo	550	0,5
Ciudad Real	640	0,6	Orense / Ourense	130	0,2	Valencia/València	0	0,2
Córdoba	100	0,2	Oviedo	230	0,4	Valladolid	690	0,4
Coruña / A Coruña	0	0,3	Palencia	740	0,5	Vitoria / Gasteiz	520	0,7
Cuenca	1.010	0,3	Palma de Mallorca	0	0,4	Zamora	650	0,4
Gerona / Girona	70	1,0	Palmas, Las	0	0,2	Zaragoza	210	0,5
Granada	690	0,4	Pamplona/Iruña	450	0,2	Ceuta y Melilla	0	0,5
		0,5			0,7			0,2

Apartado 3.5. Nieve. DB SE-AE p.11

$$q_n = \mu \cdot s_k$$

Tabla 3.8 Sobrecarga de nieve en capitales de provincia y ciudades autónomas

Capital	Altitud m	s_k kN/m ²	Capital	Altitud m	s_k kN/m ²	Capital	Altitud m	s_k kN/m ²
Albacete	690	0,6	Guadalajara	680	0,6	Pontevedra	0	0,3
Alicante / Alacant	0	0,2	Huelva	0	0,2	Salamanca	780	0,5
Almería	0	0,2	Huesca	470	0,7	SanSebas- tián/Donostia	0	0,3
Ávila	1.130	1,0	Jaén	570	0,4	Santander	1.000	0,3
Badajoz	180	0,2	León	820	1,2	Segovia	10	0,7
Barcelona	0	0,4	Lérida / Lleida	150	0,5	Sevilla	1.090	0,2
Bilbao / Bilbo	0	0,3	Logroño	380	0,6	Soria	1.090	0,9
Burgos	860	0,6	Lugo	470	0,6	Tarragona	0	0,4
Cáceres	440	0,4	Madrid	660	0,7	Tenerife	0	0,2
Cádiz	0	0,4	Málaga	0	0,6	Teruel	950	0,9
Castellón	0	0,2	Murcia	40	0,2	Toledo	550	0,5
Ciudad Real	640	0,6	Orense / Ourense	130	0,2	Valencia/València	0	0,2
Córdoba	100	0,2	Oviedo	230	0,4	Valladolid	690	0,4
Coruña / A Coruña	0	0,3	Palencia	740	0,5	Vitoria / Gasteiz	520	0,7
Cuenca	1.010	0,3	Palma de Mallorca	0	0,4	Zamora	650	0,4
Gerona / Girona	70	1,0	Palmas, Las	0	0,2	Zaragoza	210	0,5
Granada	690	0,4	Pamplona/Iruña	450	0,2	Ceuta y Melilla	0	0,5
		0,5			0,7			0,2

Apartado 3.5. Nieve. DB SE-AE p.11

$$q_n = \mu \cdot s_k$$

Tabla 3.8 Sobrecarga de nieve en capitales de provincia y ciudades autónomas

Capital	Altitud m	s _k kN/m ²	Capital	Altitud m	s _k kN/m ²	Capital	Altitud m	s _k kN/m ²
Albacete	690	0,6	Guadalajara	680	0,6	Pontevedra	0	0,3
Alicante / Alacant	0	0,2	Huelva	0	0,2	Salamanca	780	0,5
Almería	0	0,2	Huesca	470	0,7	SanSebas- tián/Donostia	0	0,3
Ávila	1.130	1,0	Jaén	570	0,4	Santander	1.000	0,3
Badajoz	180	0,2	León	820	1,2	Segovia	10	0,7
Barcelona	0	0,4	Lérida / Lleida	150	0,5	Sevilla	1.090	0,2
Bilbao / Bilbo	0	0,3	Logroño	380	0,6	Soria	1.090	0,9
Burgos	860	0,6	Lugo	470	0,6	Tarragona	0	0,4
Cáceres	440	0,4	Madrid	660	0,7	Tenerife	0	0,2
Cádiz	0	0,4	Málaga	0	0,6	Teruel	950	0,9
Castellón	0	0,2	Murcia	40	0,2	Toledo	550	0,5
Ciudad Real	640	0,6	Orense / Ourense	130	0,2	Valencia/València	0	0,2
Córdoba	100	0,2	Oviedo	230	0,4	Valladolid	690	0,4
Coruña / A Coruña	0	0,3	Palencia	740	0,5	Vitoria / Gasteiz	520	0,7
Cuenca	1.010	0,4	Palma de Mallorca	0	0,4	Zamora	650	0,4
Gerona / Girona	70	1,0	Palmas, Las	0	0,2	Zaragoza	210	0,5
Granada	690	0,4	Pamplona/Iruña	450	0,2	Ceuta y Melilla	0	0,5
		0,5			0,7			0,2

Anejo E. Datos climáticos. DB SE-AE p.42

$$q_n = \mu \cdot S_k$$



Figura E.2 Zonas climáticas de invierno

Tabla E.2 Sobrecarga de nieve en un terreno horizontal (kN/m²)

Altitud (m)	Zona de clima invernal, (según figura E.2)						
	1	2	3	4	5	6	7
0	0,3	0,4	0,2	0,2	0,2	0,2	0,2
200	0,5	0,5	0,2	0,2	0,3	0,2	0,2
400	0,6	0,6	0,2	0,3	0,4	0,2	0,2
500	0,7	0,7	0,3	0,4	0,4	0,3	0,2
600	0,9	0,9	0,3	0,5	0,5	0,4	0,2
700	1,0	1,0	0,4	0,6	0,6	0,5	0,2
800	1,2	1,1	0,5	0,8	0,7	0,7	0,2
900	1,4	1,3	0,6	1,0	0,8	0,9	0,2
1.000	1,7	1,5	0,7	1,2	0,9	1,2	0,2
1.200	2,3	2,0	1,1	1,9	1,3	2,0	0,2
1.400	3,2	2,6	1,7	3,0	1,8	3,3	0,2
1.600	4,3	3,5	2,6	4,6	2,5	5,5	0,2
1.800	-	4,6	4,0	-	-	9,3	0,2
2.200	-	8,0	-	-	-	-	-

Apartado 3.5. Nieve. DB SE-AE p.12

$$q_n = \mu \cdot s_k$$

- En un faldón limitado inferiormente por cornisas o limatesas, y en el que no hay impedimento al deslizamiento de la nieve, el coeficiente de forma tiene el valor de 1 para cubiertas con inclinación menor o igual que 30° y 0 para cubiertas con inclinación de mayor o igual que 60° (para valores intermedios se interpolará linealmente). Si hay impedimento, se tomará $\mu = 1$ sea cual sea la inclinación.
- En un faldón que limita inferiormente con una limahoya, lo que supone un impedimento al deslizamiento de la nieve, se distinguen dos casos:
 - si el faldón sucesivo está inclinado en el mismo sentido, como coeficiente de forma del de encima se tomará el correspondiente a la inclinación del de debajo en una anchura de 2m.
 - si está inclinado en sentido contrario, y la semisuma de las inclinaciones, β , es mayor de 30° , el coeficiente de forma de ambos será de 2,0; en otro caso será $\mu = 1 + \beta/30^\circ$ en una anchura de 2m.

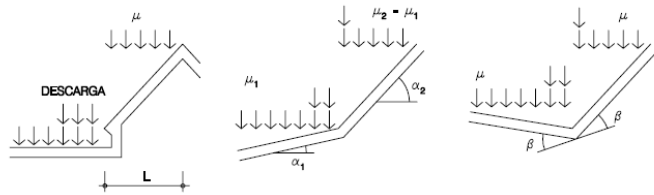


Figura 3.3 Coeficiente de forma en faldones

- Se tendrán en cuenta las posibles distribuciones asimétricas de nieve, debidas al transporte de la misma por efecto del viento, reduciendo a la mitad el coeficiente de forma en las partes en que la acción sea favorable.

3.5.4 Acumulación de nieve

- Adicionalmente, en los faldones limitados inferiormente por limatesas y cuyo coeficiente de forma, μ , sea menor que la unidad, descargan parte de la nieve aguas abajo. Tal descarga ocasiona acumulaciones de nieve si hay discontinuidades como limahoyas o cambios de nivel en esa dirección. La descarga total por unidad de longitud, p_d , puede evaluarse como:

$$p_d = (1-\mu) \cdot L \cdot s_k \quad (3.4)$$

siendo:

L proyección horizontal media de la recta de máxima pendiente del faldón.

- La acumulación de nieve sobre una discontinuidad (limahoya o cambio de nivel) aguas abajo del faldón se simula mediante una carga lineal, p_a , de valor:

$$p_a = \min(\mu_i, 1) \cdot p_d \quad (3.5)$$

que puede suponerse repartida uniformemente en un ancho no mayor que 2,0 m a un lado u otro de la limahoya o del cambio de nivel.

- Si queda descarga por repartir ($p_d > p_a$), se considerará otra discontinuidad más debajo sometida a la carga restante, y así sucesivamente hasta repartir la totalidad de la descarga o llegar al perímetro del edificio. En cualquier caso, la suma de todas las cargas sobre discontinuidades no será mayor que la descarga total del faldón.

- Sobre cada discontinuidad se sumarán, en su caso, las descargas que puedan provenir de los distintos faldones que haya aguas arriba.

Anejo C. Pesos. DB SE-AE p.19

Tabla C.1 Peso específico aparente de materiales de construcción

Materiales y elementos	Peso específico aparente kN/m ³	Materiales y elementos	Peso específico aparente kN/m ³
Materiales de albañilería		Madera	
Arenisca	21,0 a 27,0	Aserrada, tipos C14 a C40	3,5 a 5,0
Basalto	27,0 a 31,0	Laminada encolada	3,7 a 4,4
Calizas compactas, mármoles	28,0	Tablero contrachapado	5,0
Diorita, gneis	30,0	Tablero cartón gris	8,0
Granito	27,0 a 30,0	Aglomerado con cemento	12,0
Sienita, diorita, pórfido	28,0	Tablero de fibras	8,0 a 10,0
Terracota compacta	21,0 a 27,0	Tablero ligero	4,0
Fábricas		Metales	
Bloque hueco de cemento	13,0 a 16,0	Acero	77,0 a 78,5
Bloque hueco de yeso	10,0	Aluminio	27,0
Ladrillo cerámico macizo	18,0	Bronce	83,0 a 85,0
Ladrillo cerámico perforado	15,0	Cobre	87,0 a 89,0
Ladrillo cerámico hueco	12,0	Estaño	74,0
Ladrillo silicocalcáreo	20,0	Hierro colado	71,0 a 72,5
Mampostería con mortero		Hierro forjado	76,0
de arenisca	24,0	Latón	83,0 a 85,0
de basalto	27,0	Plomo	112,0 a 114,0
de caliza compacta	26,0	Zinc	71,0 a 72,0
de granito	26,0	Plásticos y orgánicos	
Sillera		Caucho en plancha	17,0
de arenisca	26,0	Lámina acrílica	12,0
de arenisca o caliza porosas	24,0	Linóleo en plancha	12,0
de basalto	30,0	Mástico en plancha	21,0
de caliza compacta o mármol	28,0	Poliestireno expandido	0,3
de granito	28,0	Otros	
Hormigones y morteros		Adobe	16,0
Hormigón ligero	9,0 a 20,0	Asfalto	24,0
Hormigón normal ⁽¹⁾	24,0	Baldosa cerámica	18,0
Hormigón pesado	> 28,0	Baldosa de gres	19,0
Mortero de cemento	19,0 a 23,0	Papel	11,0
Mortero de yeso	12,0 a 28,0	Pizarra	29,0
Mortero de cemento y cal	18,0 a 20,0	Vidrio	25,0
Mortero de cal	12,0 a 18,0		

⁽¹⁾ En hormigón armado con armados usuales o fresco aumenta 1 kN/m³

Anejo C. Pesos. DB SE-AE p.19

Tabla C.2 Peso por unidad de superficie de elementos de cobertura

Materiales y elementos	Peso kN/m ²	Materiales y elementos	Peso kN/m ²
Aislante (lana de vidrio o roca) por cada 10 mm de espesor	0,02	Tablero de madera, 25 mm espesor	0,15
Chapas grecadas, canto 80 mm, Acero 0,8 mm espesor	0,12	Tablero de rasilla, una hoja una hoja sin revestir	0,40
Aluminio, 0 8 mm espesor	0,04	una hoja más tendido de yeso	0,50
Plomo, 1,5 mm espesor	0,18	Tejas planas (sin enlistonado)	
Zinc, 1,2 mm espesor	0,10	ligeras (24 kg/pieza)	0,30
Cartón embreado, por capa	0,05	corrientes (3,0 kg/pieza)	0,40
Enlistonado	0,05	pesadas (3,6 kg/pieza)	0,50
Hoja de plástico armada, 1,2 mm	0,02	Tejas curvas (sin enlistonado)	
Pizarra, sin enlistonado		ligeras (1,6 kg/pieza)	0,40
solape simple	0,20	corrientes (2,0 kg/pieza)	0,50
solape doble	0,30	pesadas (2,4 kg/pieza)	0,60
Placas de fibrocemento, 6 mm espesor	0,18	Vidriera (incluida la carpintería)	
		vidrio normal, 5 mm espesor	0,25
		vidrio armado, 6 mm espesor	0,35

Anejo C. Pesos. DB SE-AE p.20

Tabla C.3 Peso por unidad de superficie de elementos de pavimentación

Materiales y elementos	Peso kN/m ²	Materiales y elementos	Peso kN/m ²
Baldosa hidráulica o cerámica (incluyendo material de agarre)		Linóleo o loseta de goma y mortero	
0,03 m de espesor total	0,50	20 mm de espesor total	0,50
0,05 m de espesor total	0,80	Parque y tarima de 20 mm de espesor sobre rastreles	0,40
0,07 m de espesor total	1,10	Tarima de 20 mm de espesor rastreles recibidos con yeso	0,30
Corcho aglomerado tarima de 20 mm y rastrel	0,40	Terrazo sobre mortero, 50 mm espesor	0,80

Anejo C. Pesos. DB SE-AE p.20

Tabla C.3 Peso por unidad de superficie de elementos de pavimentación

Materiales y elementos	Peso kN/m ²	Materiales y elementos	Peso kN/m ²
Baldosa hidráulica o cerámica (incluyendo material de agarre)		Linóleo o loseta de goma y mortero	
0,03 m de espesor total	0,50	20 mm de espesor total	0,50
0,05 m de espesor total	0,80	Parque y tarima de 20 mm de espesor sobre rastreles	0,40
0,07 m de espesor total	1,10	Tarima de 20 mm de espesor rastreles recibidos con yeso	0,30
Corcho aglomerado tarima de 20 mm y rastrel	0,40	Terrazo sobre mortero, 50 mm espesor	0,80

Tabla C.4 Peso por unidad de superficie de tabiques

Tabiques (sin revestir)	Peso kN/m ²	Revestimientos (por cara)	Peso kN/m ²
Rasilla, 30 mm de espesor	0,40	Enfoscado o revoco de cemento	0,20
Ladrillo hueco, 45 mm de espesor	0,60	Revoco de cal, estuco	0,15
de 90 mm de espesor	1,00	Guarnecido y enlucido de yeso	0,15

Anejo C. Pesos. DB SE-AE p.20

Tabla C.5 Peso propio de elementos constructivos

Elemento	Peso
Forjados	kN / m ²
Chapa grecada con capa de hormigón; grueso total < 0,12 m	2
Forjado unidireccional, luces de hasta 5 m; grueso total < 0,28 m	3
Forjado uni o bidireccional; grueso total < 0,30 m	4
Forjado bidireccional, grueso total < 0,35 m	5
Losa maciza de hormigón, grueso total 0,20 m	5
Cerramientos y particiones (para una altura libre del orden de 3,0 m) incluso enlucido	kN / m
Tablero o tabique simple; grueso total < 0,09 m	3
Tabicón u hoja simple de albañilería; grueso total < 0,14 m	5
Hoja de albañilería exterior y tabique interior; grueso total < 0,25 m	7
Solados (incluyendo material de agarre)	kN / m ²
Lámina pegada o moqueta; grueso total < 0,03 m	0,5
Pavimento de madera, cerámico o hidráulico sobre plastón; grueso total < 0,08 m	1,0
Placas de piedra, o peldañado; grueso total < 0,15 m	1,5
Cubierta, sobre forjado (peso en proyección horizontal)	kN / m ²
Faldones de chapa, tablero o paneles ligeros	1,0
Faldones de placas, teja o pizarra	2,0
Faldones de teja sobre tableros y tabiques palomeros	3,0
Cubierta plana, recrecido, con impermeabilización vista protegida	1,5
Cubierta plana, a la catalana o invertida con acabado de grava	2,5
Rellenos	kN / m ³
Agua en aljibes o piscinas	10
Terreno, como en jardineras, incluyendo material de drenaje ⁽¹⁾	20

⁽¹⁾ El peso total debe tener en cuenta la posible desviación de grueso respecto a lo indicado en planos.

Anejo C. Pesos. DB SE-AE p.21

Tabla C.6 Peso específico y ángulo de rozamiento de materiales almacenables y a granel⁽¹⁾

Material	Peso kN/m ³	Ángulo	Material	Peso kN/m ³	Ángulo
Arena	14 a 19	30°	Carbón en leña de trozos	4	45°
Arena de piedra pómez	7	35°	Hulla		
Arena y grava	15 a 20	35°	briquetas amontonadas	8	35°
Cal suelta	13	25°	briquetas apiladas	13	-
Cemento clinker suelto	16	28°	en bruto, de mina	10	35°
Cemento en sacos	15		puverizada	7	25°
Escoria de altos hornos			Leña	5,4	45°
troceada	17	40°	Lignito		
granulada	12	30°	briquetas amontonadas	7,8	30°
triturada, de espuma	9	35°	briquetas apiladas	12,8	-
Poliéster en resina	12	-	en bruto	7,8 a 9,8	30° a 40°
Polietileno, poliestirol granulado	6,4	30°	pulverizado	4,9	25° a 40°
Resinas y colas	13	-	Turba negra y seca		
Yeso suelto	15	25°	muy empaquetada	6 a 9	-
Agua dulce	10	-	amontonada y suelta	3 a 6	45°

⁽¹⁾ En la ENV 1990 pueden encontrarse valores adicionales de materiales agrícolas, industriales y otros.

OpenCourseWare

Teoría de Estructuras y Construcciones Industriales

Carlos Santiuste Romero, Sara Garzón Hernández, Liu Jiao Wang,
Manuel Cuadrado Sanguino, Luis Jiménez Girón, Daniel Herrero Adán

CTE: DB-SE-AE Documento Básico Seguridad Estructural – Acciones en la edificación

